

DOI:10.16799/j.cnki.csdqyfh.2020.12.031

# 基于 63 雨型的透水路面非饱和渗流分析及排水性能研究

朱广安<sup>1,2</sup>

(1. 上海市水利工程设计研究院有限公司, 上海市 200061; 2. 上海滩涂海岸工程技术研究中心, 上海市 200061)

**摘要:** 针对上海地区的排水性沥青路,采用非饱和渗流理论,基于上海地区典型长历时 63 雨型 24 h 降雨强度,对道路断面进行降雨入渗数值模拟。计算分为稳态流、降雨瞬态流和排水瞬态流三个阶段,分析了降雨强度、道路宽度、道路横坡三个因素对道路排水性能的影响,对今后上海地区排水性沥青路面设计具有一定的借鉴意义。

**关键词:** 排水性沥青路面; 非饱和渗流; 排水性能; 63 暴雨雨型

中图分类号: TU992

文献标志码: A

文章编号: 1009-7716(2020)12-0112-04

## 0 引言

上海市位于沿海地区,处于太湖流域下游,夏秋两季台风伴随天文大潮共同影响,出现风、暴、潮“三碰头”严峻局面时,降雨历时长、雨量大,内外河水位居高不下。另外,随着上海城市化进程飞速发展,道路、广场、房屋建筑等硬质铺装阻隔了城市下垫面对雨水径流的渗透,致使城市自流排水困难,城市内涝积水严重。

为改善城市的不透水铺装现状,减轻城市管网负担,增加降雨期间雨水径流对地下水的补给,2015 年 11 月 11 日上海市人民政府办公厅发布《关于贯彻落实〈国务院办公厅关于推进海绵城市建设的指导意见〉的实施意见》(沪府办〔2015〕111 号),其中明确提出大力推进海绵型道路建设,鼓励地面道路采用透水沥青路面,新建或改建人行道透水铺装率分别不低于 50% 和 30%,新建或改建专用非机动车道透水铺装率分别不低于 40% 和 20%<sup>[1-2]</sup>。

透水沥青路面是指较大空隙混合料作为路面结构层,允许路表水进入路面的一类路面结构的总称。根据其透水特点与渗流路径,可以分为以下三种类型<sup>[3]</sup>:表层排水式路面,即路表面作为透水功能层,下设封层,路表水进入路面后由面层排出并引到邻近排水设施;半透水路面,即面层和基层均具有透水能力,路表水进入路面后由基层排出并引进到邻近排水设施;全透式路面,即整个路面结构都具有良好的透水性,路表水进入路面后直

接进入路基。

## 1 工程概况

“绿色青浦,上善之城”,青浦是上海水文化和古文化的发祥地。随着“长三角绿色生态一体化”区域发展,青浦区政府打造集“防洪排涝、滨水景观、文化旅游、休闲娱乐、城市形象”于一体的城市水系公园,使青浦新城成为具有“水乡文化”和“历史文化”内涵的生态宜居城区。

设计方案充分借鉴黄浦江岸线贯通的理念,还水于民,还岸线于民。通过功能复合,新建贯通内外两环约 43 km 的滨水绿道,利用防汛通道串联沿河滨水景观节点,打造一条居民休闲亲水步道,让 30 万市民生活在公园里,享受水环境治理的成果。

青浦区环城水系公园 43 km 滨水防汛通道采用表层排水式路面,本文基于上海典型长历时 63 雨型,对工程采用的表层排水式路面进行非饱和渗流分析,研究降雨强度、路面宽度、路面横坡对其排水性能的影响,为上海后续滨水防汛通道排水路面设计提供选择和参考。

## 2 模型建立

### 2.1 道路断面

路面结构层采用上海地区常规的排水性沥青路面结构层<sup>[4]</sup>:道路面层采用 4 cm 厚 OGFC-13 透水沥青混凝土 +7 cm OGFC-20 透水沥青混凝土,基层为 20 cm 水泥稳定碎石,底基层 15 cm 水泥稳定砂砾,土基为砂质壤土。

### 2.2 水土特性曲线

本文采用 Van Genuchten (V-G) 模型四参数

收稿日期: 2020-04-30

作者简介: 朱广安(1989—),男,硕士,工程师,从事水利工程咨询设计工作。

模型用以推算土体含水量与基质吸力之间的关系。非饱和土体含水量与基质吸力之间的幂函数形式的关系式如下<sup>[5]</sup>:

$$\frac{\theta - \theta_r}{\theta_s - \theta_r} = F(\varphi) = \frac{1}{[1 + (\varphi/\alpha)^n]^m} \quad (1)$$

### 2.3 水力传导系数

本文采用 Fredlund 渗透系数预测模型,通过沿整个体积含水量函数进行积分即可得到渗透系数函数,一般的有限元程序中假设残余含水量为饱和含水量的 10%,整个基质吸力范围为 0~106 kPa,其控制方程为<sup>[6]</sup>

$$k_w = \frac{k_s [1 - (\alpha \psi^{n-1}) (1 + (\alpha \psi)^n)^{-m}]^l}{[1 + (\alpha \psi)^n]^{m/2}} \quad (2)$$

材料参数取值见表 1。

表 1 材料参数取值

| 材料      | 参数                                      |                 |                 |       |      |
|---------|---|-----------------|-----------------|-------|------|
|         | $K_s / (\text{cm} \cdot \text{s}^{-1})$ | $\theta_r / \%$ | $\theta_s / \%$ | $a$   | $n$  |
| OGFC-13 | 0.766                                   | 0.030           | 0.12            | 0.013 | 1.09 |
| OGFC-20 | 1.208                                   | 0.035           | 0.2             | 0.013 | 1.09 |
| 水泥稳定碎石  | $1.22 \times 10^{-4}$                   | 0.065           | 0.15            | 0.01  | 1.21 |
| 水泥稳定砂砾  | $5.22 \times 10^{-4}$                   | 0.075           | 0.15            | 0.01  | 1.18 |
| 砂质壤土    | $3.6 \times 10^{-6}$                    | 0.08            | 0.18            | 0.035 | 1.32 |

### 2.4 降雨雨型

选取上海地区 63 雨型进行排水性能分析。63 雨型为平均雨量较大的典型暴雨雨型,降雨历时-降雨强度如图 1 所示,见表 2。

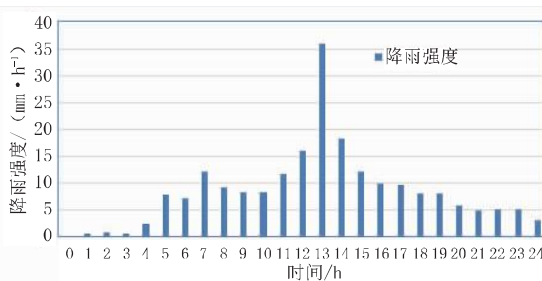


图 1 63 雨型降雨过程图

表 2 模型验证雨型

| 1    | 2    | 3     | 4    | 5    | 6    | 7     | 8    |
|------|------|-------|------|------|------|-------|------|
| 0.61 | 0.81 | 0.61  | 2.25 | 7.57 | 6.95 | 11.86 | 9.0  |
| 9    | 10   | 11    | 12   | 13   | 14   | 15    | 16   |
| 7.97 | 9.0  | 11.25 | 15.3 | 36.0 | 18.0 | 12.0  | 9.61 |
| 17   | 18   | 19    | 20   | 21   | 22   | 23    | 24   |
| 9.41 | 8.18 | 7.77  | 5.72 | 4.70 | 4.91 | 3.06  | 1.8  |

## 3 不同降雨强度下排水性沥青路面的雨水入渗分析

### 3.1 雨水入渗分析

取 63 雨型进行分析,由计算结果可知,在降雨的初期表面层体积含水量变化不大,随着雨水入渗,材料颗粒之间的基质吸力达到进水值,体积含水量迅速增大,随着降雨持续入渗,体积含水量达到一定值后不变。

入渗过程为 0~4 h,降雨入渗,路面结构上无积水;降雨 5~6 h 后,路面表层开始积水;降雨 12~13 h 后,道路表层积水达到峰值,约为 300 mm;随着暴雨强度减小,路面结构中水以漫流的形式排出,水位逐渐降低,在 17~24 h 后,路面已无积水。不同降雨历时路面结构水位示意图如图 2 所示。

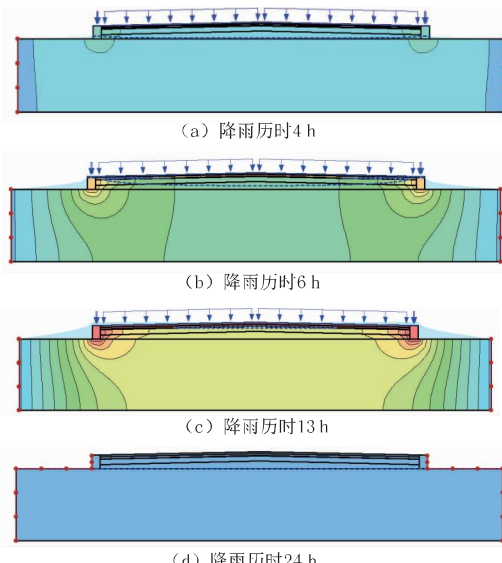


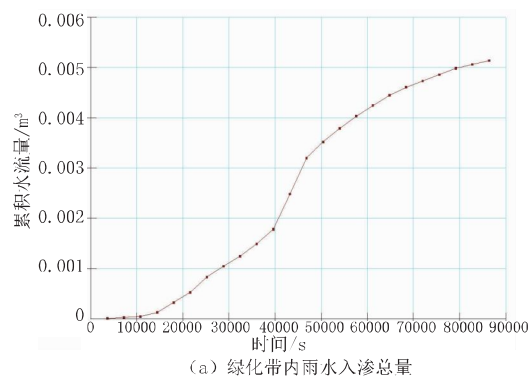
图 2 不同降雨历时路面结构水位示意图

### 3.2 路面宽度对水流入渗分析影响

为研究路面宽度对水流入渗的影响,横坡坡比取 0。分别取路面宽 12 m、18 m、24 m、30 m 四种工况进行计算分析。取半幅路进行计算分析,基于路面结构的对称性,两幅路中心线交界界面没有水流交换,即此边界设定为流量  $Q=0$ 。

当半幅路面宽度为 6 m 时,计算模型及路面结构水位及路面积水深度如图 3、图 4 所示。路面结构从 5 h 后开始积水,13 h 时达到最大,峰值强度为 204 mm,在 13 h 时其累计水流量速率最快,最大累计水流量在 24 h 时约为 0.005 1 m<sup>3</sup>;5 h 时路面材料体积含水率达到峰值,上面层已趋于饱和状态。这时由于降雨强度  $q$  大于面层的渗透系数  $k_s$ ,绿化带内雨水入渗量由降雨强度控制,此时路面结构不再储存,雨水在路面漫流。

半幅路面宽度为 6 m、9 m、12 m、15 m 时,路



(a) 绿化带内雨水入渗总量

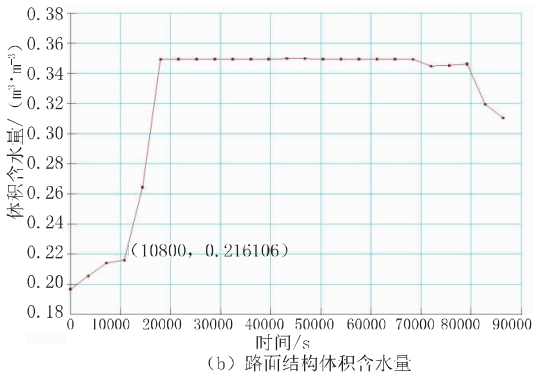


图3 63雨型道路宽度12m、道路横坡0%时半幅路面降雨量示意图

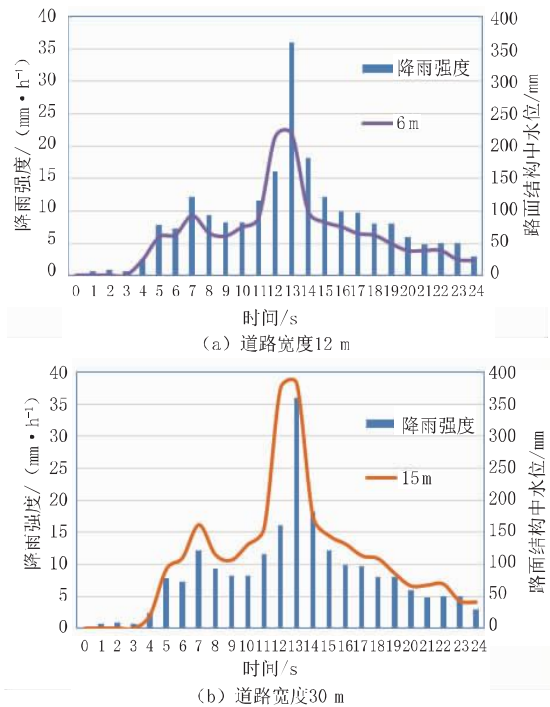


图4 63雨型半幅路面结构水位示意图

面结构层内水位峰值分别为204 mm、304 mm、390 mm、458.8 mm, 累积最大水流量均约为0.005 1 m<sup>3</sup>(见图5)。不同宽度路面结构水位随着降雨强度变化趋势基本相同, 但不同宽度路面水位峰值差距较大, 整体情况随着路面宽度增加, 水位峰值升高, 路面越宽水越难排出。

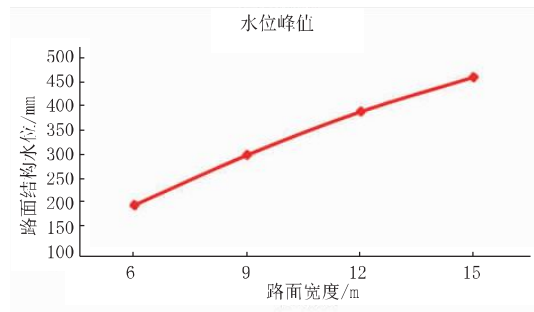


图5 63雨型下不同路面宽度水位峰值图

### 3.3 路面横坡坡比对水流入渗分析影响

为研究道路横坡坡比对水流入渗的影响, 固定路宽为12 m, 分别取路面横坡比为0.5%、1%、1.5%、2%四种工况进行计算分析。

如图6、图7所示, 通过体积含水量曲线可看出, 横坡坡比为2%的开始排水时间短于横坡坡比为0的情况, 且排水时间亦小于无坡比情况。从图上看总排水量无显著变化。

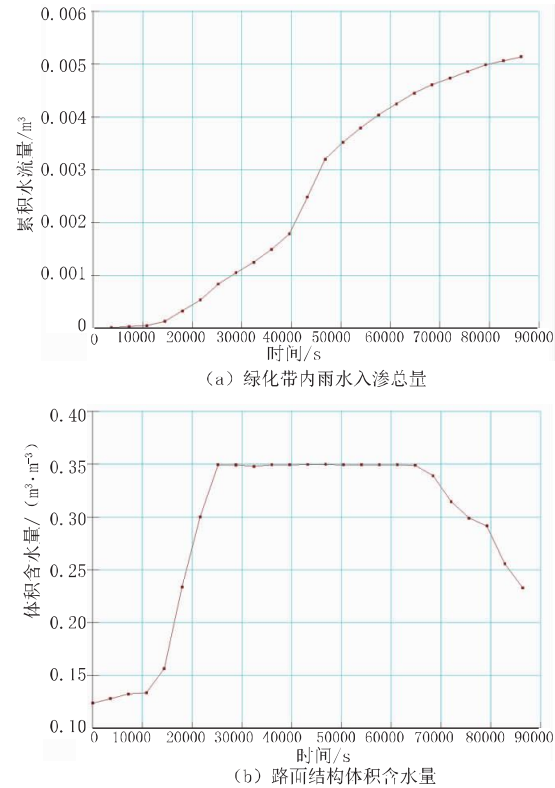


图6 63雨型道路宽度12m、道路横坡2%时半幅路面降雨量示意图

当路面横坡坡比分别为0.5%、1%、1.5%、2%时, 路面结构路面水位峰值分别为390 mm、363.2 mm、333.8 mm、290 mm, 累积最大水流量均约为0.005 1 m<sup>3</sup>(见图8)。不同横坡坡比情况下, 路面结构水位随着降雨强度变化趋势基本相同, 随着横坡坡比增加, 水位峰值降低, 即路面积水随坡道排出。

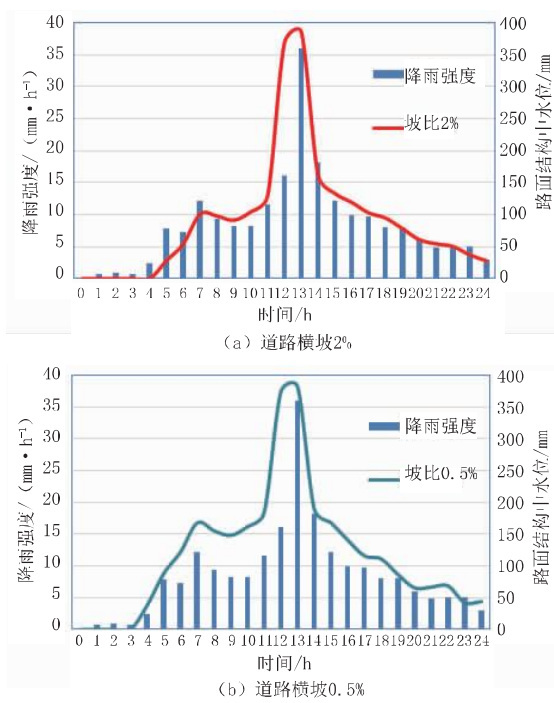


图 7 63 雨型半幅路面结构水位示意图

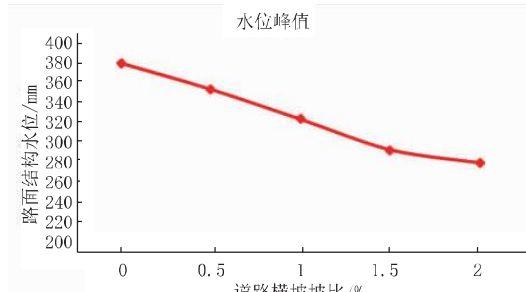


图 8 63 雨型下不同横坡水位峰值图

## 4 结语

本文基于上海地区典型长历时 63 雨型的 24 h

(上接第 86 页)

梁挠度由 72 mm 降低到 49 mm，可以明显降低主梁的挠度情况。

## 6 结语

本文针对存在主梁抗弯能力不足、墩梁刚结不合理等问题的人行天桥，提出一种采用 UHPC 和改善结构体系的方法，结论如下：

(1)老桥多跨连续刚性固结墩的支承方式，不利于结构受力，会引起刚结墩顶开裂。

(2)将老桥多跨连续刚性固结墩的支承方式调整为刚性墩+固定支座+滑动支座的支撑方式，能有效改善结构内力状态。

(3)采用 UHPC 对钢结构人行天桥铺装层进行

降雨强度，采用非饱和渗流理论，对排水性沥青路面常规道路断面进行降雨入渗数值模拟。计算分为稳态流、降雨瞬态流和排水瞬态流三个阶段，模拟道路断面结构降雨入渗情况，分析了降雨强度、道路宽度、道路横坡三个因素对道路排水性能的影响，结论如下：

(1)雨水降落在道路表面，首先以竖直流速快速渗入面层，遇到隔水封层的阻隔后，变为沿横坡方向。随着时间的延续，路面面层存储雨水达到饱和状态，雨水以漫流的形式沿着横坡排出。

(2)路面结构排水性能在不同降雨强度下随道路宽度的变化规律相同：路面越宽，路面结构水位峰值越高，说明路面排水难度随着路面宽度增加而增加。

(3)路面结构排水性能在不同降雨强度下随道路横坡的变化规律相同：路面横坡越大，路面结构水位峰值越低，说明路面排水难度随着路面横坡坡比增加而减少。

## 参考文献：

- [1] CJJ/T 190—2012, 透水沥青路面技术规程[S].
- [2] DG/TJ 08—2016, 道路排水性沥青路面技术规程[S].
- [3] 董祥, 沈正. 我国城市道路透水路面建设的工程选址与类型选择分析[J]. 甘肃农业大学学报, 2010, 45(3): 145—150, 160.
- [4] 诸永宁. 排水性沥青路面排水性能研究与排水设施的设计[D]. 南京: 东南大学, 2004.
- [5] 刘明. 路面结构排水特性的非饱和渗流数值模拟与分析[D]. 长沙: 湖南大学, 2007.
- [6] 蒋玮, 沙爱民, 肖晶晶, 等. 透水沥青路面的储水渗透模型与效能[J]. 同济大学学报(自然科学版), 2013, 41(1): 72—77.

改造，可以在减轻结构自重的同时，明显改善主梁抗弯承载能力，改善主梁下挠状况。

(4)UHPC 对钢结构人行天桥的维修加固技术的发展有一定的促进作用。

至于钢结构人行桥常出现的人桥振动问题，无法通过本文所述方式得到改善。如需减少人桥振动，需要采取专项的减振措施，提高体系阻尼，此方面内容将在后续相关论文中进一步展开。

## 参考文献：

- [1] 余凤翔. 城市人行天桥设计上几个问题的探讨[J]. 城市道桥与防洪, 2004(2): 29—32.
- [2] 陈宝春, 季韬, 黄卿维, 吴怀中, 丁庆军, 詹颖雯. 超高性能混凝土研究综述[J]. 建筑科学与工程学报, 2014, 03(3): 78—81.